固体物理学 I 講義ノート

井野明洋 ino@hiroshima-u.ac.jp 広島大学

2017年12月18日

第10章

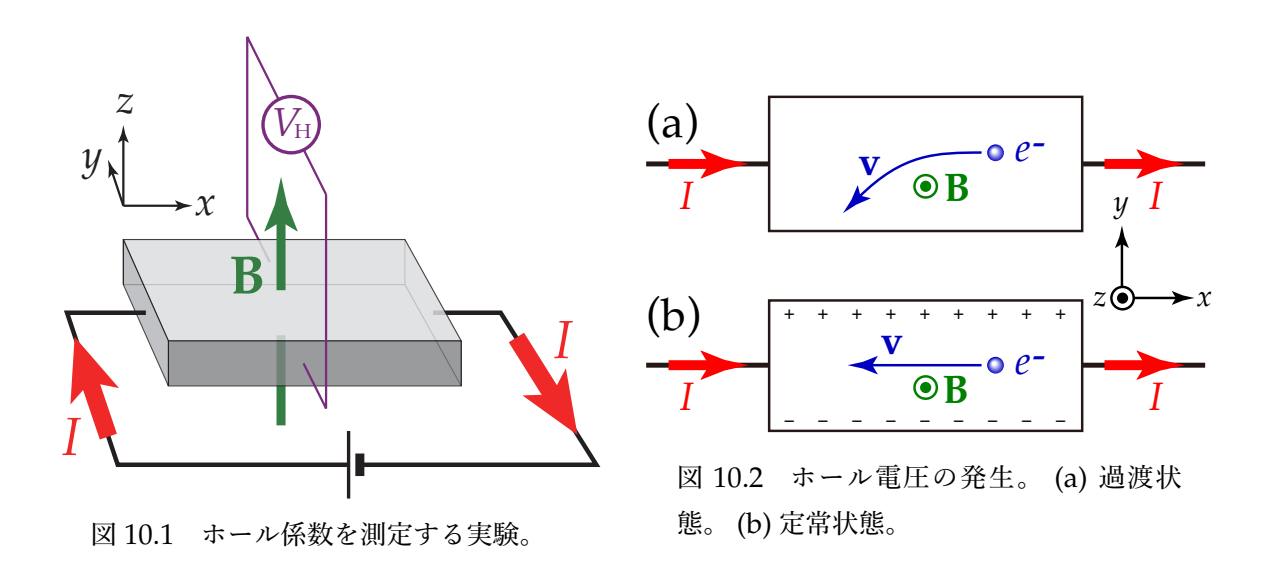
磁場中の固体電子

――― 磁場とフェルミ面の意外な関係

10.1 導入

■ ホール効果の古典論

キャリア密度を決定する実験手法として、**ホール効果の測定** が有力だ。 実験配置の 概略を図 10.1 に示す。 電子の速度を $(v_x,0,0)$ とすると、z 方向の磁場 $(0,0,B_z)$ により、 ローレンツ力 $F_y=ev_xB_z$ を受ける。 そのため、電子の軌跡が図 10.2(a) のように曲げられて、試料側面に電荷が溜まり、y 方向に電場 E_y が発生する。 これを、**ホール電場** と呼



ぶ。 図 10.2(b) のように定常に達すると、ローレンツ力がゼロになることから、

$$F_y = -e\left(-v_x B_z + E_y\right) = 0$$

が満たされ、

$$v_x = \frac{E_y}{B_z} \tag{10.1}$$

となる。 つまり、ホール電場 E_y と外部磁場 B_z の比から、電子の速度 v_x が求まる。 これ に電荷密度 -ne をかけると、ホール電流が算出される。

$$j_x = -ne \, v_x = -\frac{ne \, E_y}{B_z}$$

ホール係数 (Hall coefficient) を、

$$R_{\rm H} \stackrel{\rm def.}{=} \frac{E_y}{j_x B_z}$$

によって定義すると、古典論による関係式が得られる。

$$R_{\rm H} = -\frac{1}{ne} \tag{10.2}$$

従って、ホール係数の測定により、電子密度 n を実験的に決定できる。

■ 実験結果

表 10.1 に、金属のホール係数 $R_{\rm H}$ の実験値 [1] を示す。 例えば ${\rm Bi}$ では、通常の金属の 千倍以上のホール係数が観測されている。 (10.2) 式を用いてホール係数から評価した電子密度を $n_{\rm H} = -\frac{1}{e\,R_{\rm H}}$

と表し、これを原子数密度 $n_{\rm at}$ で割って求めた **原子あたりの電子数** $\frac{n_{\rm H}}{n_{\rm at}} = -\frac{1}{e\,n_{\rm at}R_{\rm H}}$ を、表 10.1 と図 10.3 に示す。 アルカリ金属では、おおむね価数 1 と一致しているが、Cu などの貴金属では、価数 1 より少し大きめに、そして、それ以外の金属では価数 Z から逸脱している。 また、Al や In では、正のホール係数が観測され、 $\frac{n_{\rm H}}{n_{\rm at}} \simeq -1$ となる。 これを図 10.2 に従って解釈すると、正の電荷をもつ粒子が電流を運んでいること になる。 このAl の負のホール係数は、磁場 B が強いときに観測される。 図 10.4 に示すように、弱磁場

における Al のホール係数は正だが、磁場が強くなるとともに符号が反転する [2]。 磁場による $R_{
m H}$ の符号反転現象は、図 10.2 の単純な描像では理解できない。

表 10.1 ホール係数 $R_{\rm H}$ の実験値 [1] と原子密度 $n_{\rm at}$ の比較。 $R_{\rm H}$ は強磁場における実験値で、 * はヘリコン波の手法で決定した値。

元素	電子配置	価数 <i>Z</i>	原子密度 n _{at (/nm³)}	ホール係数 R _H (10 ⁻¹⁰ m³/C)	原子あたりの 電子数 $n_{ m H}/n_{ m at}$
Li	$2s^{1}$	1	46.3	-1.70	0.8
Na	$3s^{1}$	1	25.4	-2.36*	1.0
K	$4s^1$	1	13.3	-4.45^*	1.1
Rb	$5s^{1}$	1	10.8	-5.04	1.1
Cu	$3d^{10}4s^1$	1	84.7	-0.54	1.4
Ag	$4d^{10}5s^1$	1	58.6	-0.90	1.2
Au	$5d^{10}6s^1$	1	59.0	-0.72	1.5
Be	$2s^2$	2	124	2.43	-0.21
Mg	$3s^2$	2	43.1	-0.83	-1.8
Al	$3s^23p^1$	3	60.3	1.02*	-1.0
In	$5s^25p^1$	3	38.3	1.60*	-1.0
As	$4s^24p^3$	5	46.0	45	-0.030
Sb	$5s^25p^3$	5	33.1	-19.8	0.095
Bi	$6s^26p^3$	5	28.2	-5400	0.0004

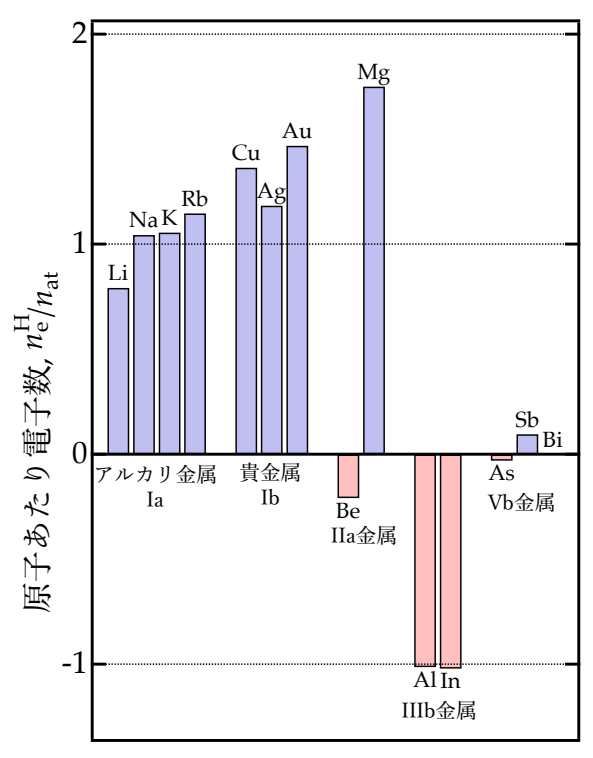


図 10.3 ホール係数から予想される原子あたりの電子数 $\frac{n_{\rm e}^{\rm H}}{n_{\rm at}}$ [1]。

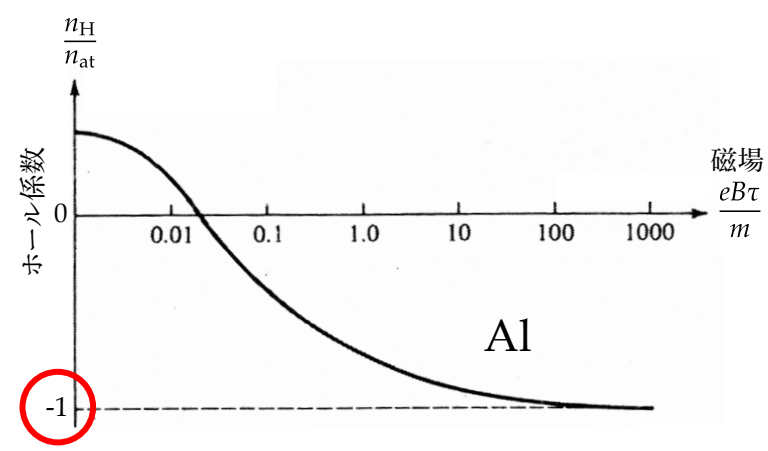


図 10.4 Al のホール係数 $R_{\rm H}$ の磁場依存性 [2]。 磁場 B とともに $R_{\rm H}$ の符号が反転する。

■ 量子振動現象

金属の高品質単結晶に強磁場を印加すると、磁場 B の強さに対して、磁化率や電気抵抗が振動することが知られており、**量子振動** と呼ばれている。 磁化率の量子振動はドハース・ファンアルフェン (de Haas-van Alphen; dHvA) 効果、電気抵抗の量子振動はシュブニコフード・ハース (Shubnikov-de Haas; SdH) 効果と呼ばれる。

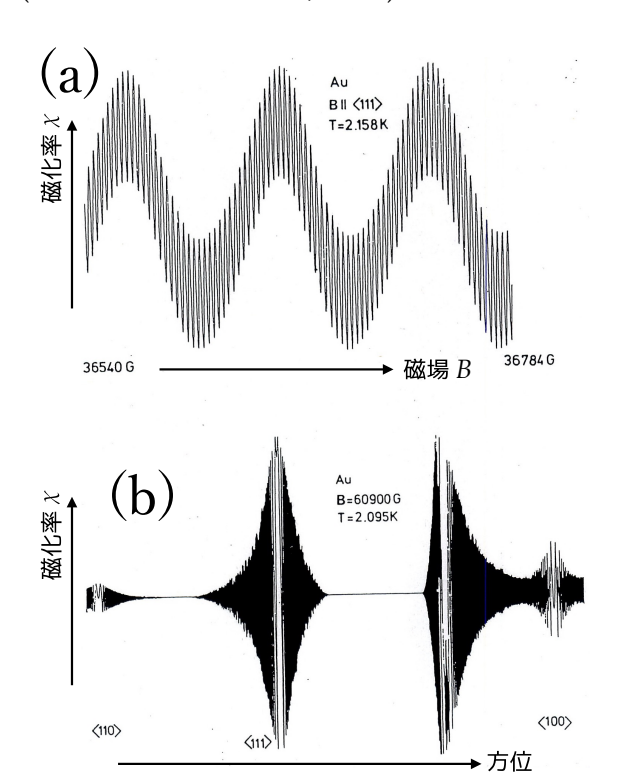


図 10.5 Au で観測された量子振動 [3]。 (a) 磁化率の磁場強度依存性。 (b) 磁化率の磁場方向依存性。

■ 課題

磁場中の固体が示す謎の物性を理解したい。

■ 方針

電子の運動を逆空間で考える。

10.2 磁場による運動

■ 波数空間

磁場 \mathbf{B} を印加したときの固体電子の運動を考える。 運動量の定義 $\frac{d\mathbf{p}}{dt} = \mathbf{F}$ より、ローレンツ力を受ける電子は、 $\frac{d\mathbf{k}}{dt} = -\frac{e}{t} \mathbf{v} \times \mathbf{B}$ (10.3)

に従って、波数空間を移動する。 ただし、右辺の ${\bf v}$ は、もはや古典粒子の速度 ${\bf v}=\frac{{\bf p}}{m}$ ではなく、電子の群速度 ${\bf v}_{\rm g}=\frac{1}{\hbar}\nabla_{\!{\bf k}}E$ を表すことに注意せよ。 ${\bf v}$ が波数空間の等エネルギー面に垂直なので、 $\frac{d{\bf k}}{dt}$ \bot ${\bf v}$ より電子は等エネルギー面に沿って移動し、 $\frac{d{\bf k}}{dt}$ \bot ${\bf B}$ より電子は ${\bf B}$ に垂直な平面内を移動する。 したがって、等エネルギー面を ${\bf B}$ に垂直な平面で切断した 切り口の曲線 に沿って、電子が動く。 例えば、フェルミ面上の波数点から出発した電子は、ひたすらフェルミ面に沿って、ぐるぐると周回することになる。

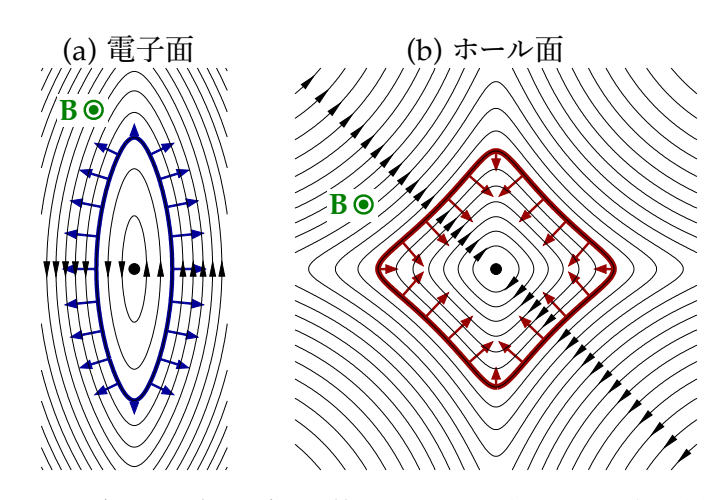


図 10.6 磁場による電子の運動。電子は等エネルギー面に沿って波数空間を周回する。

(a) 下に凸な領域の等エネルギー線。(b) 上に凸な領域の等エネルギー線。

■ 実空間

電場 E と磁場 B があるときの運動方程式は、

$$\frac{d\mathbf{k}}{dt} = -\frac{e}{\hbar} \left(\mathbf{E} + \mathbf{v} \times \mathbf{B} \right) \tag{10.4}$$

で与えられる。 磁場項を左辺に移して整理すると、

$$\mathbf{v} \times \mathbf{B} = -\frac{\hbar}{e} \frac{d\mathbf{k}}{dt} - \mathbf{E} \tag{10.5}$$

となる。 ここで、 $B = |\mathbf{B}|$ と表記して、ベクトル三重積の公式*1を用いると、

$$\frac{\mathbf{B}}{B^2} \times \left(\mathbf{v} \times \mathbf{B} \right) = \frac{\left(\mathbf{B} \cdot \mathbf{B} \right) \mathbf{v} - \left(\mathbf{B} \cdot \mathbf{v} \right) \mathbf{B}}{B^2} = \mathbf{v} - \left(\frac{\mathbf{B}}{B} \cdot \mathbf{v} \right) \frac{\mathbf{B}}{B} = \mathbf{v}_{\perp}$$

が成り立つ。 ただし、 $\mathbf{v}_{\! \perp}$ は、速度ベクトル \mathbf{v} を磁場 \mathbf{B} に垂直な面に射影したベクトルを表し、磁場方向の単位ベクトルが $\frac{\mathbf{B}}{B}$ になるので最後の等式が成立する。 そこで、(10.5) 式の両辺に、左から $\frac{\mathbf{B}}{B^2}$ を作用させると、次の式が得られる。

$$\frac{d\mathbf{r}_{\perp}}{dt} = \mathbf{v}_{\perp} = -\frac{\hbar}{eB^2}\mathbf{B} \times \frac{d\mathbf{k}}{dt} - \frac{\mathbf{B} \times \mathbf{E}}{B^2}$$

さらに、両辺を時間で積分すると、実空間における電子の軌跡が導出される。

$$\mathbf{r}_{\perp}(t) - \mathbf{r}_{\perp}(0) = -\frac{\hbar}{eB} \cdot \frac{\mathbf{B}}{B} \times \left[\mathbf{k}(t) - \mathbf{k}(0) \right] - \frac{\mathbf{B} \times \mathbf{E}}{B^2} t$$
 (10.6)

電場が無いときで考えると、波数空間におけるフェルミ面の断面を -90° 回転して $\frac{\hbar}{eB}$ 倍した軌道を、実空間の電子が周回することになる。 これに電場が印加されると、周回運動に一定の速度 $-\frac{\mathbf{B}\times\mathbf{E}}{B^2}$ で移動する成分が加わる。

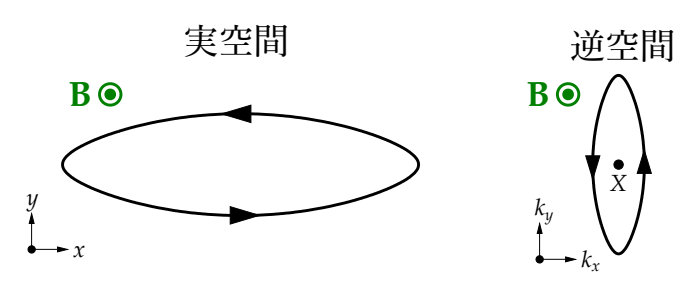


図 10.7 実空間における磁場中の電子の軌道。 逆空間の軌道を 90° 回転して $\frac{\hbar}{eB}$ 倍した形になる。

^{*1} ベクトル三重積の公式 $\mathbf{a} \times (\mathbf{b} \times \mathbf{c}) = (\mathbf{a} \cdot \mathbf{c})\mathbf{b} - (\mathbf{a} \cdot \mathbf{b})\mathbf{c}$

■ 軌道運動の周期

(10.3) 式より、磁場を受けた電子が波数空間を移動する速さは、

$$\left| \frac{d\mathbf{k}}{dt} \right| = \frac{e}{\hbar} \left| \mathbf{v} \times \mathbf{B} \right| = \frac{eB}{\hbar} \left| \mathbf{v}_{\perp} \right|$$

で与えられる。 波数空間を dk 進むのに要する時間は、 $dt=\frac{dk}{\left|\frac{dk}{dt}\right|}$ なので、これを軌道の波数経路に沿って周回積分すれば、周期 T が得られる。

$$T = \int_0^T dt = \oint_{\text{hi\'a}} \frac{dk}{\left|\frac{d\mathbf{k}}{dt}\right|} = \frac{\hbar^2}{eB} \oint_{\text{hi\'a}} \frac{dk}{\hbar \left|\mathbf{v}_\perp\right|}$$
(10.7)

最右辺の周回積分は、**波数空間の軌道が囲む面積** $S(E,k_{\parallel})$ と関係づけることができる。 S は、等エネルギー面を磁場に直交する平面で切った断面積なので、E と k_{\parallel} に依存する。 図 10.8 に示すように、エネルギーを ΔE ほど上げたときの断面積の増分を与える帯状の波数領域の幅は $\Delta k_{\rm w} = \frac{\Delta E}{\hbar \, |\mathbf{v}_{\perp}|}$ で表される。従って、

$$\begin{split} S(E + \Delta E, k_{||}) &- S(E, k_{||}) &= \oint_{\text{thid}} \Delta k_{\text{w}} \, dk \\ &= \left(\oint_{\text{thid}} \frac{dk}{\hbar \, |\mathbf{v}_{\perp}|} \right) \Delta E \\ &\frac{\partial}{\partial E} S(E, k_{||}) &= \oint_{\text{thid}} \frac{dk}{\hbar \, |\mathbf{v}_{\perp}|} \end{split}$$

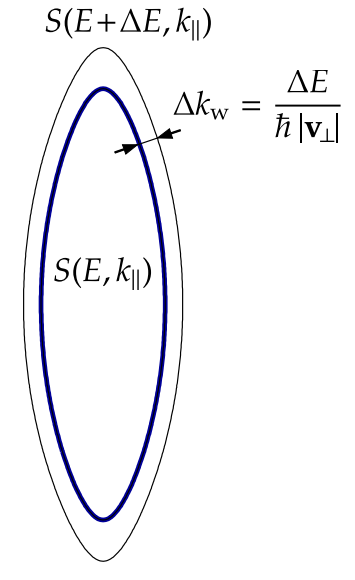


図 10.8 断面積の増分を与える帯状の波数領域 $S(E+\Delta E,k_{\parallel}) - S(E,k_{\parallel})$ 。

となる。 これを (10.7) 式に代入すると、**軌道運動の周期** T を与える簡潔な式が得られる。

$$T = \frac{\hbar^2}{eB} \frac{\partial S}{\partial E} \tag{10.8}$$

10.3 量子振動

量子論では、閉じた軌道を周回する粒子の状態は必ず量子化される。 従って、強磁場中の電子の軌道も量子化される。 ボーアの対応原理 によれば、隣り合う準位のエネルギー 差は、古典的な運動の周期 T の逆数にプランク定数 h をかけた値になる。

$$E_{n+1} - E_n = \frac{h}{T}$$

(10.8) 式より、 $\frac{\partial S}{\partial E} = \frac{eBT}{\hbar^2}$ を両辺にかける。

$$\frac{\partial S}{\partial E} \left(E_{n+1} - E_n \right) = \frac{eBT}{\hbar^2} \cdot \frac{2\pi\hbar}{T}$$

 $S_n = S(E_n)$ と表記すると、次のように書き換えられる。

$$S_{n+1} - S_n = \frac{2\pi e}{\hbar} B$$

これは、波数空間で電子が取り得る軌道の面積が、 $\frac{2\pi e}{\hbar}B$ を単位に量子化されることを示しており、**ランダウ量子化** と呼ばれている。 この制約は、非負整数 n と位相定数 γ を用いて、 $\frac{S_n}{R} = \frac{2\pi e}{\hbar} \left(n + \gamma \right) \tag{10.9}$

と定式化される。 次に、磁場 B の強さを変化させると、(10.9) 式の断面積 S_n が変化する。 これがちょうどフェルミ面の断面積に一致するとき、フェルミ準位の状態密度が増え、離れると、フェルミ準位の状態密度が減る。 従って、外部磁場 B を連続的に変化させると、磁化率や電気抵抗などの物性が振動することになる。 これを **量子振動** と呼ぶ。 フェルミ面の断面積を S_{FS} とおいて、 $S_n = S_{FS}$ を (10.9) 式に代入すると、

$$\frac{1}{B} = \frac{2\pi e}{\hbar \, S_{\rm FS}} \left(n + \gamma \right)$$

となるので、量子振動の間隔は、

$$\frac{1}{B_{n+1}} - \frac{1}{B_n} = \frac{2\pi e}{\hbar} \cdot \frac{1}{S_{FS}}$$
 (10.10)

で与えられる。 従って、量子振動の周期を観測することで、フェルミ面の断面積を実験的に決定することができる。

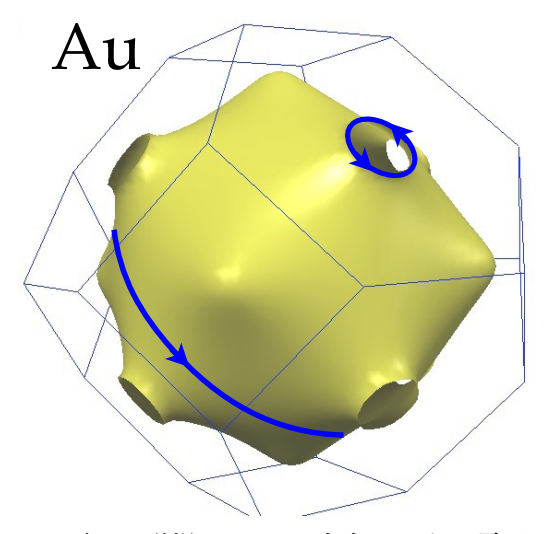


図 10.9 Au のフェルミ面と、磁場 B が 111 方向のときの電子の周回軌道。 断面積が極値となる軌道が量子振動として観測される。 図 10.5(a) において、大きなゆったりとした振動が細い首 (neck) の周りの軌道に、小刻みな振動が太い腹 (belly) の周りの軌道に対応する。

10.4 弱磁場におけるホール係数

導出 [4,5] は省略して、結果だけを示す。

弱磁場ホール係数
$$\frac{1}{eR_{\rm H}} = \frac{(p\mu_{\rm h} + n\mu_{\rm e})^2}{p\mu_{\rm h}^2 - n\mu_{\rm e}^2}$$
 (10.11)

ただし、n は電子密度で $\mu_{\rm e}=e\frac{\tau_{\rm e}}{m_{\rm e}^*}$ は電子易動度、p はホール密度で $\mu_{\rm h}=e\frac{\tau_{\rm h}}{m_{\rm h}^*}$ はホール 易動度を表す。 キャリヤーが一種類しか無いときは、電子であれば $\frac{1}{e\,R_{\rm H}}=-n$ 、ホール であれば $\frac{1}{e\,R_{\rm H}}=p$ となり、古典論による (10.2) 式と一致する。 複数のキャリヤーが共存 するときは、(10.11) 式のように、易動度で重みづけをした平均的なキャリヤ密度になる。

10.5 強磁場におけるホール係数

(10.8) 式より、外部磁場 B を十分に強くすると、軌道運動の周期 T が緩和時間 τ より短くなる。 $T \ll \tau$ なら、ほとんどの電子が散乱されずに軌道を周回する。 ここでは、強磁場極限 として、 $\frac{\tau}{T} \to \infty$ における電流 $\lim_{\tau/T \to \infty}$ すを考える。 電子が 閉じた軌道 を周回しているときは、 $\mathbf{k}(T) = \mathbf{k}(0)$ なので、(10.6) 式の右辺第一項は時間的に振動するだけで電流に寄与しない。 そして、右辺第二項の等速運動の成分が定常的な電流として残る。 そこで、フェルミ面の種類で場合分けする。

(i) 電子型のフェルミ面

フェルミ面の占有側の軌道がすべて閉じているときは、**電子が電流を運ぶ** と考えることで、(10.6) 式の右辺第一項を無視できる。 **電子の密度** は $n=\int_{BZ} \frac{d\mathbf{k}}{4\pi^3} f(\mathbf{k})$ で与えられ、そのすべてが一定の速度 $\frac{\mathbf{E}\times\mathbf{B}}{B^2}$ で移動するときの電流から、ホール係数の強磁場極限が得られる。

$$\lim_{\tau/T\to\infty} \mathbf{j} = -ne \, \frac{\mathbf{E}\times\mathbf{B}}{B^2}, \qquad R_{\mathrm{H}} = -\frac{1}{ne}$$

(ii) ホール型のフェルミ面

フェルミ面の非占有側の軌道がすべて閉じているときは、ホールが電流を運ぶ と考えることで、(10.6) 式の右辺第一項を無視できる。ホールの密度 は $p=\int_{BZ} \frac{d\mathbf{k}}{4\pi^3} \left[1-f(\mathbf{k})\right]$ で与えられ、そのすべてが一定の速度 $\frac{\mathbf{E}\times\mathbf{B}}{B^2}$ で移動するときの電流から、ホール係数の強磁場極限が得られる。

$$\lim_{\tau/T\to\infty} \mathbf{j} = pe \, \frac{\mathbf{E}\times\mathbf{B}}{B^2}, \qquad \qquad R_{\mathrm{H}} = \frac{1}{pe}$$

(iii) 電子型でもホール型でもないフェルミ面

フェルミ面の占有側と非占有側の両方に開いた軌道があるときは、(10.6) 式の右辺第一項も電流に寄与することになる。 (i) または (ii) の場合は、磁場 B によって縦電流が消失し横電流も $\propto \frac{1}{B}$ に従って減少するが、(iii) の場合は、開いた軌道の方向の電流が強磁場でも消えずに残る。

(iv) 複数のフェルミ面が共存するとき

複数のフェルミ面が共存するときは、それぞれのフェルミ面による電流が加算される。 例えば、図 9.7 のように、電子型のフェルミ面とホール型のフェルミ面が共存するときは、

$$\lim_{\tau/T \to \infty} \mathbf{j} = (p - n)e^{\frac{\mathbf{E} \times \mathbf{B}}{B^2}}$$

となる。

強磁場ホール係数
$$\frac{1}{eR_{\rm H}} = p - n \tag{10.12}$$

本章の導入部で、Al と In のホール係数の強磁場極限がちょうど $\frac{n_{\rm H}}{n_{\rm at}}\simeq -1$ を示すことを指摘した(図 10.3 と図 10.4)。 Al や In は価数は +3 なので、バンドが 1 つと半分ほど占有される。 実際には、図 10.10 に示すように、第 1 のバンドが完全に埋まり、第 2 と第 3 のバンドが部分的に占有される。 第 2 のバンドが Γ 点を中心とする大きなホール面を成し、第 3 のバンドがブリルアン・ゾーンの隅の方に小さな電子面を成す。 第 2 と第 3 のバンドへの電子の配分は周期場によって増減するが、価電子の総数が不変なので、第 3 バンドの電子密度 n と第 2 バンドのホール密度の差は、常に

$$p - n = (+1) \times n_{at}$$

となる。 これと (10.12) 式により、実験結果 $\frac{n_{
m H}}{n_{
m at}} \simeq -1$ が説明される。

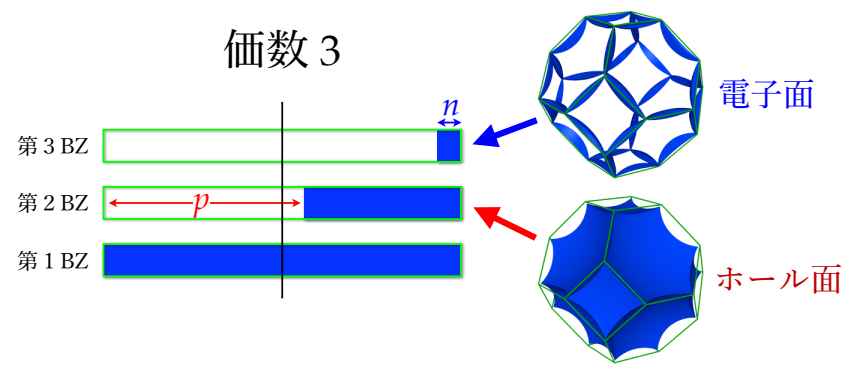


図 10.10 Al と In のバンドの占有状況。 第2のバンドが大きなホール面を成し、第3のバンドが小さな電子面を成す。

10.6 まとめ

- 量子振動 $\frac{1}{B_{n+1}} \frac{1}{B_n} = \frac{2\pi e}{\hbar} \cdot \frac{1}{S_{FS}}$
- 弱磁場ホール係数 $\frac{1}{eR_{\rm H}} = \frac{(p\mu_{\rm h} + n\mu_{\rm e})^2}{p\mu_{\rm h}^2 n\mu_{\rm e}^2}$
- 強磁場ホール係数 $\frac{1}{eR_{H}} = p n$

参考文献

- [1] キッテル, "固体物理学入門 (第6版)", 丸善, 第6章, (1986).
- [2] アシュクロフト, マーミン, "固体物理の基礎", 吉岡書店, 第1章 (1976).
- [3] H. イバッハ, H. リュート, "固体物理学", シュプリンガー・フェアラーク東京 (1998).
- [4] J. M. ザイマン, "固体物性論の基礎", 丸善.
- [5] 松村武, "磁場中における電気抵抗とホール効果", http://home.hiroshima-u.ac.jp/tmatsu/Matsumura/Research_files/trnsprt.pdf (2001).